

Р. К. МАЗИТОВ

РЕЛАКСАЦИЯ ПРОТОНОВ И ДЕЙТРОНОВ
В ВОДНЫХ РАСТВОРАХ ПЯТИВАЛЕНТНОГО МОЛИБДЕНА

(Представлено академиком А. Е. Арбузовым 16 VI 1965)

Магнитная релаксация ядер водорода в парамагнитных растворах ионов группы железа (незаполненная 3d-оболочка) детально изучена. Парамагнитные растворы ионов других групп исследованы гораздо слабее. В данной работе приведены экспериментальные результаты, касающиеся времен продольной T_1 и поперечной T_2 релаксации протонов и дейtronов в водных растворах, содержащих ионы пятивалентного молибдена ($4 d^1$).

Измерения выполнены методом ядерного спинового эха и электронного парамагнитного резонанса. Резонанс протонов наблюдался в полях 6730 и 1030 эрст, а дейтロンов в поле 6730 эрст.

Спектры э.п.р. измерялись в поле ~ 3200 эрст. Пятивалентный молибден был получен согласно (1). Для того чтобы устранить возможную разницу поведения Mo^{5+} в растворах HCl и DCl , ядерная релаксация обоих изотопов водорода была изучена в одних и тех же образцах, содержащих смесь HCl и DCl . Такая смесь была приготовлена растворением газа HCl в D_2O . Полученная 12,5 N соляная кислота содержала 22 ат. % протонов и 78 ат. % дейтров.

На рис. 1 изображены зависимости времен релаксации протонов и дейтров от концентрации пятивалентного молибдена. Здесь же приведены магнитные вклады во времена релаксации дейтров, T_{1M}^D и T_{2M}^D , выделенные из измеренных величин T_1^D и T_2^D с помощью условия $(T_{1,2}^D)^{-1} = (T_{1,2}^D)^{-1} - (T_{1,2\text{кв}}^D)^{-1}$, где $T_{1,2\text{кв}}^D = 0,34$ сек.— время квадрупольной релаксации дейтров в чистом растворителе (12,5 N HCl).

Рис. 1. Зависимость времен релаксации протонов и дейтров от концентрации пятивалентного молибдена. 1 — T_2^H , 3 — T_1^H в поле 1030 эрст, 2 — T_2^D , 4 — T_1^H в поле 6730 эрст, 5 — T_2^D , 6 — T_{2M}^D , 7 — T_1^D , 8 — T_{1M}^D в поле 6730 эрст

Как и следовало ожидать, для продольных времен магнитной релаксации обоих изотопов водорода имеет место обратная пропорциональность этих времен от концентрации пятивалентного молибдена: $NT_1^H = 5,2 \cdot 10^{-3}$ мсек, $NT_{1M}^D = 100 \cdot 10^{-3}$ мсек в поле 6730 эрст. Этого нельзя сказать о поперечных временах релаксации (магнитной). Отклонение от условия $NT_2 = \text{const}$, как будет показано ниже, объясняется влиянием электронной релаксации. При концентрациях парамагнитных частиц меньших, чем 0,2 моля, времена релаксации дейтров в основном обусловлены: T_2^D — самодиффузией, а T_1^D — квадрупольным взаимодействием. На рис. 1 приведены также значения времен релаксации протонов, измеренные в поле 1030 эрст.

Для интерпретации данных необходимо установить, определяются ли измеренные времена магнитными взаимодействиями, или же временами

«жизни» ядер водорода τ в первой сфере парамагнитного иона; т. е. необходимо выяснить, какая из двух величин $T_{1,2b}$ или τ в формуле

$$(T_{1,2})^{-1} = (T_{1,2a})^{-1} + P_b(T_{1,2b} + \tau)^{-1} \quad (1)$$

является большой. В (1) $T_{1,2b}$ и $T_{1,2a}$ — времена релаксации ядер водорода в первой гидратной оболочке парамагнитного иона и вне ее соответственно, $P_b = \frac{N \cdot n}{m}$, N — концентрация парамагнитных ионов, а m — ядер водорода в растворе, n — число мест, занимаемых ядрами водорода в первой гидратной оболочке парамагнитного иона. Предложенные в (2) методы определения соотношения между $T_{1,2b}$ и τ вряд ли пригодны для растворов пятивалентного молибдена, в которых изменения кислотности или температуры могут влиять не только на τ , но и на концентрацию парамагнитных ионов.

Сравнительное изучение релаксации обоих изотопов водорода (3, 4) позволяет решить эту задачу. Отношения магнитных времен релаксации протонов и дейtronов в растворах молибденила оказались равными:

$$\frac{NT_{1M}^D}{NT_1^H} = 38,5 \quad \text{и} \quad \frac{NT_{2M}^D}{NT_2^H} \cong 39,$$

т. е. в пределах точности опыта совпадают с теоретически ожидаемой величиной $\gamma_H^2 / \gamma_D^2 = 42,5$. Следовательно, $T_{1,2b} \gg \tau$ и верхний предел τ меньше $1,3 \cdot 10^{-4}$ сек. Приведенные на рис. 1 времена релаксации (кривые 1, 4, 6, 8) должны описываться уравнениями:

$$(T_1)^{-1} = \frac{4}{30} S(S+1) \gamma_I^2 g^2 \beta^2 P_b r^{-6} \tau_c [3 + 7(1 + w_s^2 \tau_c^2)^{-1}], \quad (2)$$

$$(T_2)^{-1} = \frac{4}{60} S(S+1) \gamma_I^2 g^2 \beta^2 P_b r^{-6} \tau_c [7 + 13(1 + w_s^2 \tau_c^2)^{-1}] + \\ + \frac{1}{3} S(S+1) P_b A^2 \hbar^{-2} \tau_{ob} [1 + (1 + w_s^2 \tau_{ob}^2)^{-1}], \dots \quad (3)$$

где обозначения общепринятые (5) и пренебрежено обменным вкладом в T_1 . Здесь неизвестными являются τ_c , P_b , A , τ_{ob} . Определим их.

Время корреляции τ_c найдем из сравнения скоростей релаксации протонов при низких и высоких частотах. Решение соответствующего квадратного уравнения дает два корня: $\tau_{c1} = 6,8 \cdot 10^{-11}$ сек, $\tau_{c2} = 1,2 \cdot 10^{-11}$ сек при 300° К. Выбор между ними может быть сделан с помощью измерения T_1^H еще при каком-либо третьем значении напряженности поля. Однако существует и другой путь: при нагревании раствора время T_1^H удлиняется, при этом скорость роста зависит от того, сравнимо $w_s \cdot \tau_c$ с единицей или нет. Опытное сравнение влияния нагревания на T_1^H растворов на двух частотах 4,4 и 28,7 МГц показало, что из двух значений времен корреляции подходящим является $\tau_c = 1,2 \cdot 10^{-11}$ сек.

Подставляя $\tau_c = 1,2 \cdot 10^{-11}$ сек. и $r = 2,7 \text{ \AA}$ в уравнение (2), находим $P_b = 0,045$, т. е. количество ядер водорода n , находящихся в ближайшем окружении иона, равно 4,3 или, в пределах точности опыта, 4.

Н. С. Гарифьянов и В. Н. Федотов (6) исследовали э.п.р. в жидкких растворах пятивалентного молибдена. Они показали: наличие связи $\text{Mo}=\text{O}$ в комплексах молибдена дает возможность наблюдать узкие линии э.п.р. в жидкких растворах при комнатной температуре. Сама возможность наблюдения э.п.р. с $g \cong 2$ свидетельствует о том, что ионы Mo^{5+} находятся в мономерных комплексах, а не димерных. В совокупности все эти данные приводят к следующему составу комплексов Mo^{5+} в сильно кислой среде ($\sim 12 N \text{ HCl}$): $[\text{MoOCl}_5(\text{H}_2\text{O})_2]^{2-}$.

На рис. 2 представлены зависимости NT_{ob}^H , обменного вклада в попеченную релаксацию и ширины линии э.п.р. ΔH в кислом ($12,5 N$) водном

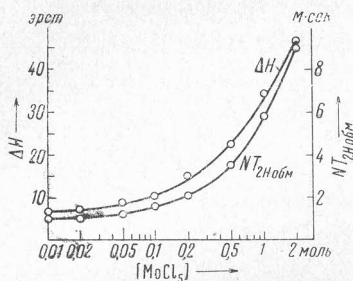


Рис. 2. Зависимость ширины линии э.п.р. ΔH и обменного вклада NT_{206^-} в поперечную релаксацию протонов от концентрации Mo^{5+} . ΔH — расстояние между точками максимального наклона кривой э.п.р.

время электронной релаксации τ_s . Считая, что линия э.п.р. лоренцевой формы, мы нашли предельное значение $\tau_s = 10^{-8}$ сек. Тогда константа обменного взаимодействия для протонов (A_H/h) = $3,3 \cdot 10^5$ гц, для дейtronов (A_D/h) = $4,7 \cdot 10^4$ гц. Из сравнения величин A_H и A_D следует, что плотность неспаренных электронов иона MoO_3^{3+} на протонах $|\psi(0)|_{H^2}$ несколько больше, чем на дейтронах $|\psi(0)|_{D^2} \cong \cong 1,06 |\psi(0)|_{D^2}$. Аналогичная ситуация была установлена в растворах ионов Mn^{2+} , Cr^{3+} (3, 4). Это согласуется с известным фактором более слабой гидратации тяжелой воды по сравнению с легкой (8).

Так как $\tau_{ob} = \tau_s$, нижний предел времени пребывания ядер водорода в составе парамагнитного комплекса 10^{-8} сек.

Известно (7), что парамагнетизм в водных растворах Mo^{5+} зависит от кислотности. Интересно было бы проследить влияние кислотности среды на скорость релаксации протонов и дейtronов. Такие зависимости были сняты и показаны на рис. 3. Все образцы, использованные для этих опытов, содержали $0,2 M$ Mo^{5+} . Вариация кислотности среды осуществлялась изменением концентрации дейтерированной HCl . Мы видим, что в пределах от 12,5 до 5 N HCl времена продольной релаксации протонов и дейtronов не претерпевают изменений. При концентрациях кислоты в пределах от 12,5 до 5 N HCl времена продольной релаксации резко растут из-за уменьшения концентрации парамагнитных ионов; Mo^{5+} переходит в Mo^{+6} , который диамагнитен. Совершенно иначе ведут себя поперечные времена релаксации. При уменьшении кислотности они уменьшаются, проходят через минимум и резко возрастают. Рост их происходит при той же концентрации, что T_1 , и обусловлен уменьшением концентрации парамагнитных частиц. Для того чтобы сделать какие-либо заключения относительно причины уменьшения T_2 , необходимо сопоставить влияние кислотности на ширину линии э.п.р. и на обменный вклад в T_2 . Такое сравнение для протонов приведено на рис. 4.

растворе от концентрации Mo^{5+} . Обменный вклад рассчитан по формулам (2) и (3) из значений T_1^H и T_2^H в поле 6730 эрст. По мере разбавления раствора линия сужается и в пределе ее ширина становится равной 7 эрст. В (6) указано, что в концентрированных растворах $MoO \cdot Cl_3$ в спирте и ацетоне ширина линии обусловлена дипольным взаимодействием между парамагнитными ионами. Из рис. 2 видно, что аналогичная ситуация имеет место и в водных растворах. При разбавлении величина NT_{2ob}^H также убывает, это вызывает отсутствие постоянства NT_2 на рис. 1. Одноковое поведение NT_2 и ΔH не оставляет сомнения в том, что временем корреляции обменного взаимодействия ионами и ядрами водорода в кислых средах выступает

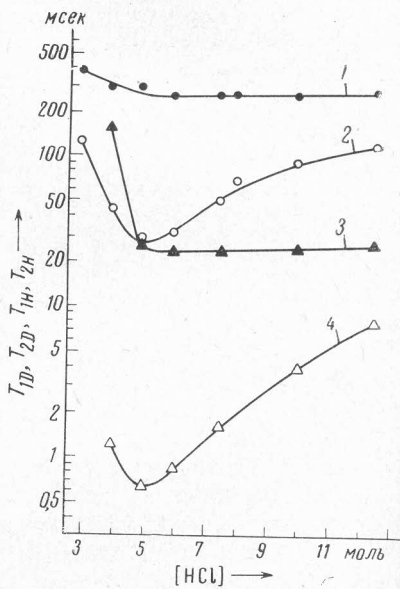


Рис. 3. Зависимость времен релаксации протонов и дейtronов от кислотности среды в $0,2 M$ растворе Mo^{5+} . 1 — T_1^D , 2 — T_2^D , 3 — T_1 , 4 — T_2^H .

Никакой корреляции между изменением ΔH и $T_{2\text{об}}^H$ не существует. Тот факт, что времена релаксации дейтронов в данном случае определяются в значительной мере влиянием квадрупольной релаксации и самодиффузии, не позволил нам построить аналогичную зависимость для $T_{2\text{об}}^D$. Сравнение же минимальных значений T_2^H и T_2^D (последнее равно 27 мсек и потому влиянием отмеченных факторов можно пренебречь) дает $(T_2^D / T_2^H) = 42$. Так как эта величина очень близка к отношению квадратов гиromагнитных факторов $(\gamma_H / \gamma_D)^2 = 42,5$, то можно заключить, что в этой точке (5 N HCl) усреднение обменного взаимодействия между парамагнитным ионом и ядром водорода происходит не из-за ухода ядер водорода из комплекса.

Необходимо также отметить, что не только увеличение концентрации соляной кислоты вызывает рост T_2^H . Аналогичное происходит при добавлении в раствор, содержащий 6 M HCl, и соли LiCl. Так, например, добавление 5 молей HCl увеличивается T_2^H в 11 раз, а добавление 5 молей LiCl увеличивает T_2^H в 10 раз. Следовательно, изменение концентрации ионов Cl^- , а не H_3O^+ влияет на поперечное время. Образование других мономерных комплексов Mo^{5+} в растворе, например $[\text{MoO}_{5-n}(\text{H}_2\text{O})_2]^{2+n}$, может вызвать изменение T_2 . Ширина линии э.п.р. в этих комплексах не меняется, так как она определяется по-прежнему связью $\text{Mo}=\text{O}$. Уменьшение атомов хлора в составе комплекса приведет к упрочнению связи $\text{Mo}—\text{OH}_2$ и, следовательно, к увеличению константы A .

С другой стороны упрочнение связи молекул воды с ядром комплекса может вызвать удлинение времени пребывания молекул воды $\tau_{\text{H}_2\text{O}}$ в комплексе. Как было показано выше, время жизни молекулы воды в комплексе $[\text{MoOCl}_5(\text{H}_2\text{O})_2]^{2+}$ не может служить временем корреляции обменного взаимодействия между ионами и ядрами водорода, т. е. $\tau_{\text{H}_2\text{O}} > \tau_{\text{об}} = \tau_s$. Удлинение времени $\tau_{\text{H}_2\text{O}}$ в предлагаемых новых комплексах при постоянстве τ_s не может изменить ситуацию.

При упрочнении связи $\text{Mo}—\text{OH}_2$ может ослабнуть связь $\text{O}-\text{H}$, тогда отдельные ядра водорода могут быстрее обмениваться между комплексом и растворителем, т. е. может оказаться, что время жизни ядер водорода в комплексе станет временем корреляции обменного взаимодействия. Однако выше было показано, что даже в растворе, содержащем 5 N HCl, т. е. там, где концентрация предполагаемых комплексов должна быть максимальной, этого не происходит. Следовательно, укорочение времени T_2 при уменьшении концентрации ионов Cl^- необходимо отнести за счет увеличения константы A в предлагаемых комплексах. Дальнейшее уменьшение концентрации Cl^- вызовет еще большее обеднение хлором этих комплексов и еще большее упрочнение связи $\text{Mo}—\text{OH}_2$. Последним этапом этого процесса будет выход ядер водорода из состава комплекса и превращение последнего в MoO_3 .

Автор благодарен А. И. Ривкину за обсуждение.

Казанский государственный университет
им. В. И. Ульянова-Ленина

Поступило
22 V 1965

ЦИТИРОВАННАЯ ЛИТЕРАТУРА

- ¹ Н. Г. Ключников, Руководство по неорганическому синтезу, 1953. ² R. G. Pearson, J. Palmer et al., Zs. Elektrochim., 64, № 1, 110 (1960). ³ Р. К. Мазитов, ДАН, 152, 375 (1963). ⁴ Р. К. Мазитов, ДАН, 156, 135 (1964). ⁵ R. A. Bergheim, T. H. Brown et al., J. Chem. Phys., 30, 950 (1959). ⁶ Н. С. Гарифьянов, Н. С. Федотов, ЖЭТФ, в. 2 (8), 376 (1962). ⁷ J. Bigeleisen, J. Chem. Phys., 32, 1583 (1960). ⁸ П. Сельвид, Магнетохимия, ИЛ, 1958, стр. 258.

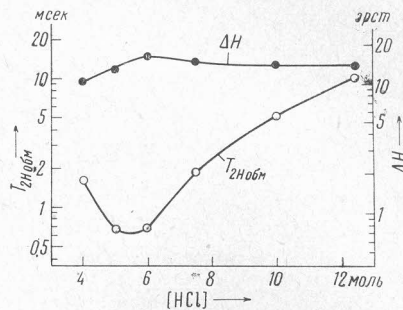


Рис. 4. Зависимость ширины линии э.п.р. ΔH и обменного вклада $T_{2\text{об}}^H$ в поперечную релаксацию протонов от кислотности среды в 0,2 M растворе Mo^{5+}